



UNIVERSIDADE FEDERAL DO  
RIO GRANDE DO SUL

# **Estimação e controle da posição de um robô móvel utilizando filtro de Kalman descentralizado**

**Felipe Kühne, Sérgio R. Suess, Carlos A. H. Claro  
e Walter F. Lages**

ESCOLA DE ENGENHARIA  
DEPARTAMENTO DE ENGENHARIA ELÉTRICA  
PROGRAMA DE PÓS GRADUAÇÃO EM ENGENHARIA ELÉTRICA

CBA'04 - PPGEE - UFRGS



## **Estrutura do trabalho**



1. Introdução
2. Modelo do robô móvel
3. Realimentação linearizante
4. Filtro de Kalman
5. Resultados
6. Conclusões e Trabalhos Futuros

# Introdução

- Problema de navegação de um robô móvel:

- ☐ Obtenção da atual configuração



Sensores acoplados ao veículo

- ☐ Robôs com rodas  $\Rightarrow$  encoders  $\Rightarrow$  *odometria*.

3/24

# Introdução

- ☐ *Odometria:*

- VANTAGEM: técnica barata e de fácil implementação;
- DESVANTAGEM: sensores de medida relativa  $\Rightarrow$  acúmulo ilimitado de erros.

- ☐ *Solução:*

- Uso de sensores de medida absoluta e com domínios de informação sobrepostos  $\Rightarrow$  *GPS* e *bússolas eletrônicas*.

4/24

# Introdução

- Sistema com diversos sensores, cada um provendo uma informação diferente:
  - ☐ estimador de estados:
    - estimativa *local*
  - ☐ fusão dos dados:
    - estimativa *global*
- *Filtro de Kalman*

5/24

# Introdução

- Arquitetura proposta:
  - ☐ estrutura descentralizada composta de nodos totalmente conectados:
    - combinação das informações através do KF (obtenção de medidas mais precisas)
  - ☐ aplicação de um controle linearizante para a posição do robô.

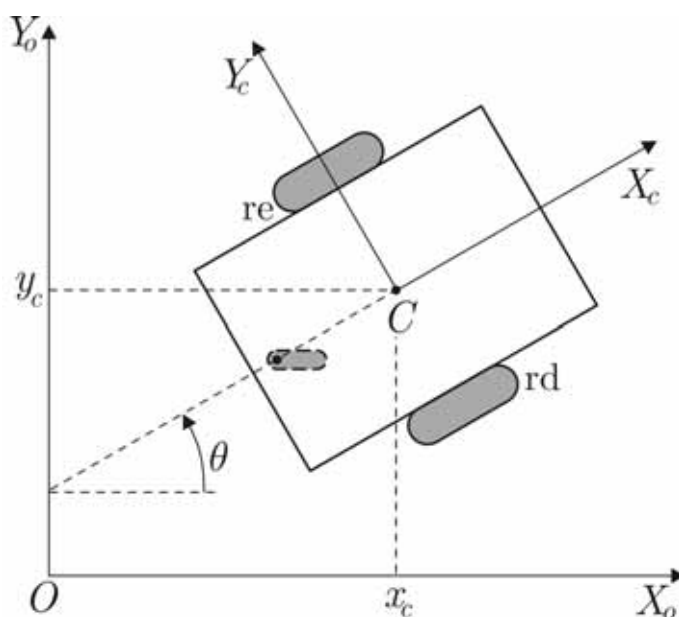
6/24

# Introdução

- Arquitetura proposta:
  - VANTAGENS: modularidade, robustez, confiabilidade e flexibilidade;
  - DESVANTAGENS: excesso de comunicação.

7/24

# Modelo cinemático



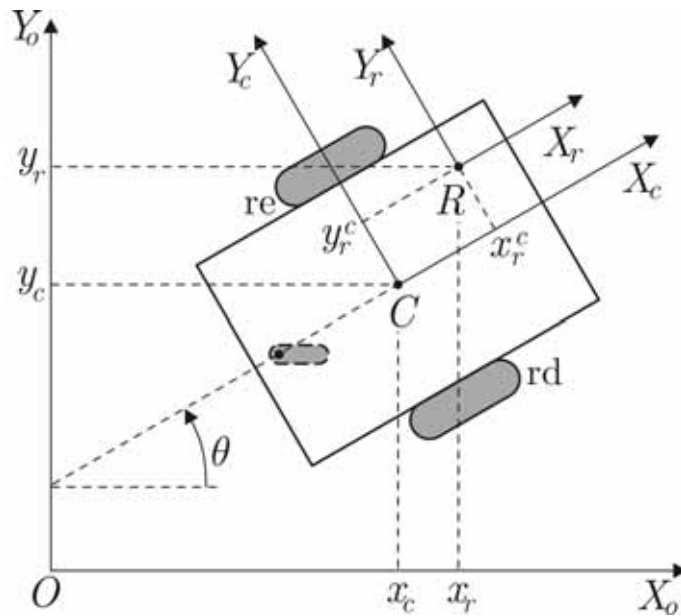
Modelo cinemático:

$$\begin{bmatrix} \dot{x}_c \\ \dot{y}_c \\ \dot{\theta} \end{bmatrix} = \begin{bmatrix} \cos \theta & 0 \\ \sin \theta & 0 \\ 0 & 1 \end{bmatrix} \begin{bmatrix} u_1 \\ u_2 \end{bmatrix}$$

$$\dot{\mathbf{x}} = f(\mathbf{x})\mathbf{u}$$

8/24

# Modelo cinemático



Modelo cinemático:

$$\begin{bmatrix} \dot{x}_c \\ \dot{y}_c \\ \dot{\theta} \end{bmatrix} = \begin{bmatrix} \cos \theta & 0 \\ \sin \theta & 0 \\ 0 & 1 \end{bmatrix} \begin{bmatrix} u_1 \\ u_2 \end{bmatrix}$$

$$\dot{\mathbf{x}} = f(\mathbf{x})\mathbf{u}$$

Saída: posição do ponto R

$$\mathbf{y}_s(\mathbf{x}) = \begin{bmatrix} x_r \\ y_r \end{bmatrix} = \begin{bmatrix} x_c + x_r^c \cos \theta - y_r^c \sin \theta \\ y_c + x_r^c \sin \theta + y_r^c \cos \theta \end{bmatrix} \quad 9/24$$

# Realimentação Linearizante

Diferenciar a saída até que a entrada apareça na expressão:

$$\mathbf{y}_s^{(n)}(\mathbf{x}) = \alpha(\mathbf{x}) + \beta(\mathbf{x})\mathbf{u}(\mathbf{x})$$

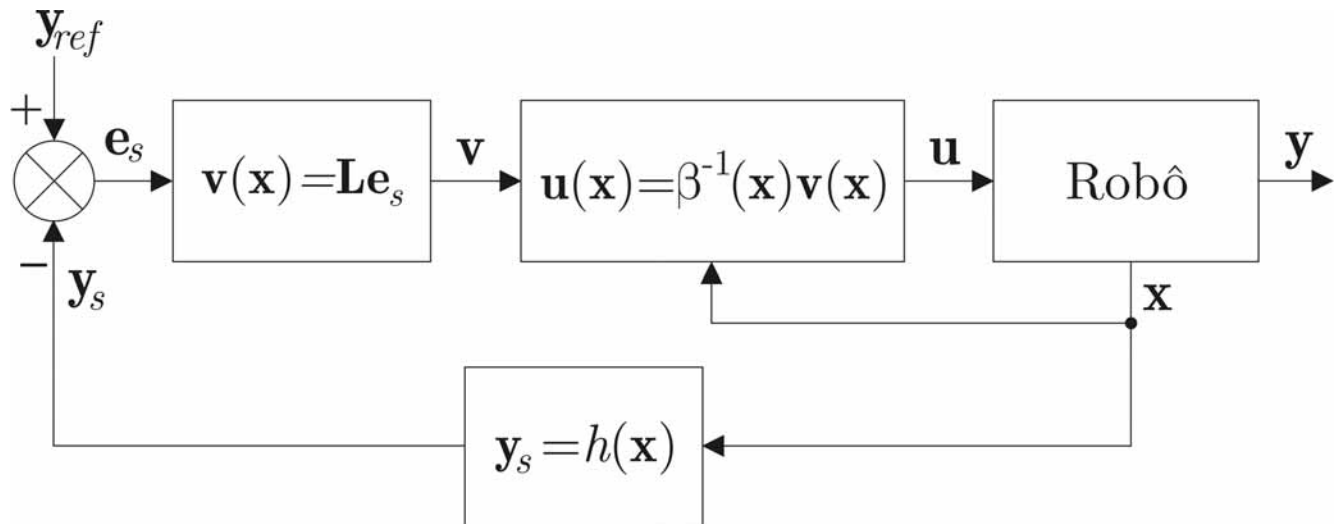
Realimentação:  $\mathbf{u}(\mathbf{x}) = \beta(\mathbf{x})^{-1}\mathbf{v}(\mathbf{x}) - \alpha(\mathbf{x})$

$$\alpha(\mathbf{x}) = 0$$

$$\beta(\mathbf{x}) = \begin{bmatrix} \cos \theta & -(x_r^c \sin \theta + y_r^c \cos \theta) \\ \sin \theta & x_r^c \cos \theta - y_r^c \sin \theta \end{bmatrix}$$

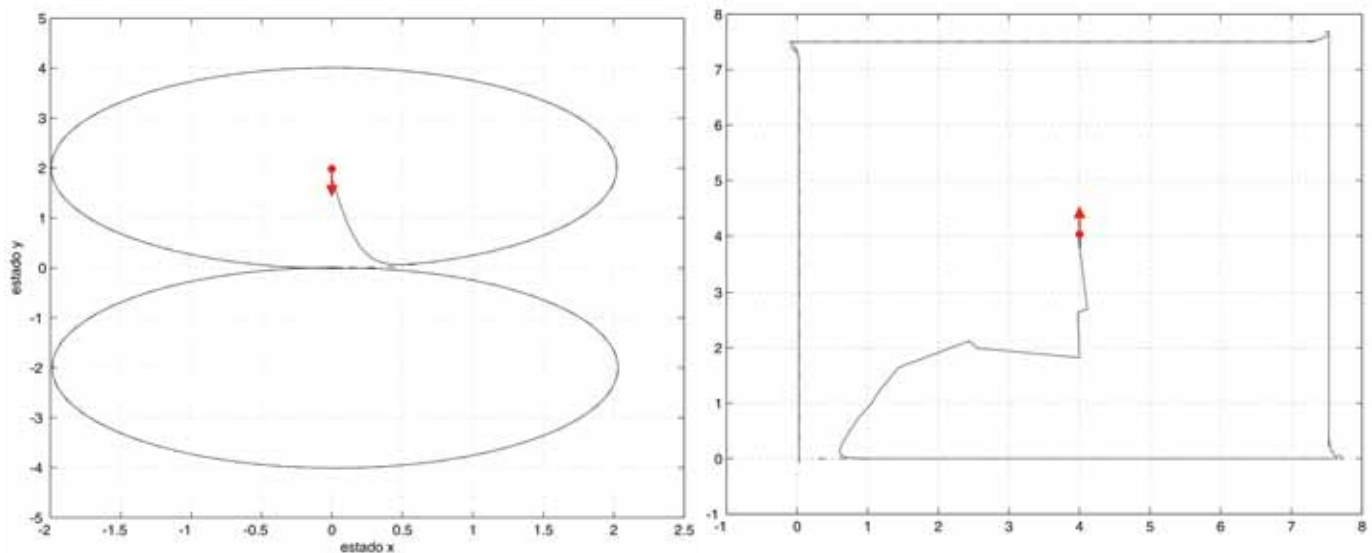
# Realimentação Linearizante

Lei de controle linear:  $\mathbf{v} = \mathbf{L} (\mathbf{y}_{ref} - \mathbf{y}_s)$



11/24

# Realimentação Linearizante



12/24

# O Filtro de Kalman

- Considerando a saída do sistema como sendo os sinais:
  - ☐ do encoder (*posição e orientação*)
  - ☐ do GPS (*posição*)
  - ☐ da bússola (*orientação*)
- Expressão de saída:

$$\mathbf{y}(k) = [x_{enc}(k) \quad y_{enc}(k) \quad x_{gps}(k) \quad y_{gps}(k) \quad \theta_{enc}(k) \quad \theta_{bus}(k)]^T$$

13/24

# O Filtro de Kalman

- Assumindo a existência de ruídos aditivos, tem-se o seguinte modelo:

$$\begin{aligned}\mathbf{x}(k+1) &= f(\mathbf{x}(k))\mathbf{u}(k) + \mathbf{w}(k) \\ \mathbf{y}(k) &= h(\mathbf{x}(k)) + \mathbf{v}(k)\end{aligned}$$

- $\mathbf{w}(k)$  e  $\mathbf{v}(k)$  são vetores de ruído branco com distribuição normal e média zero.

14/24

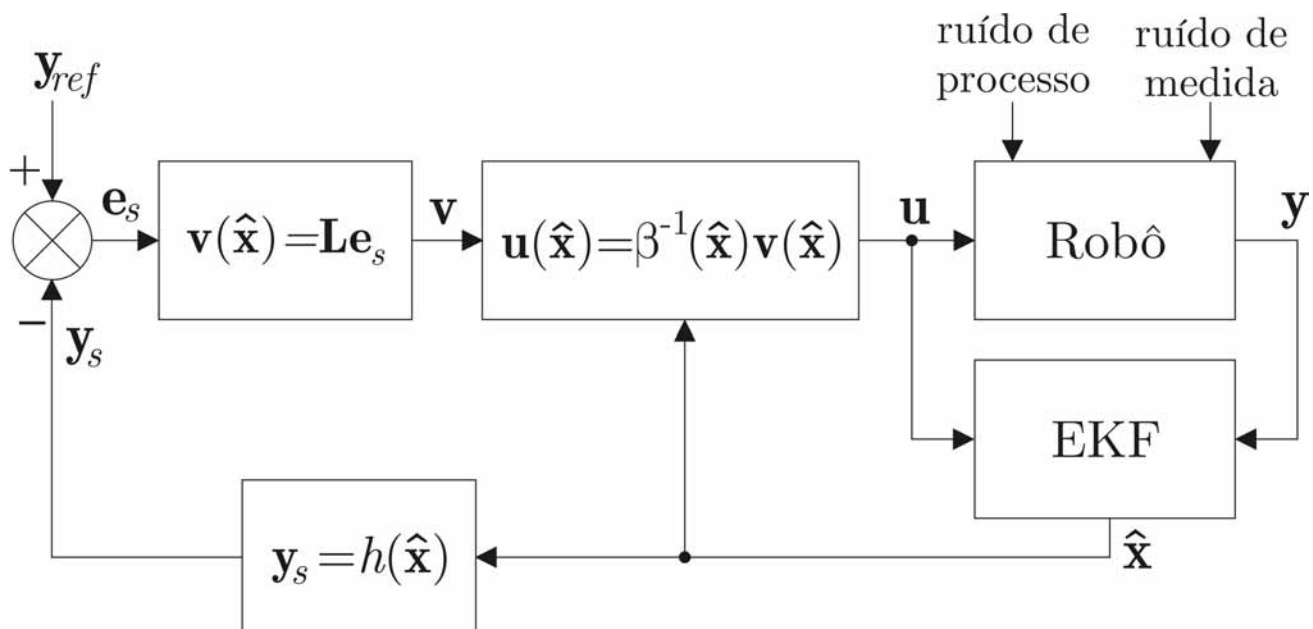
# O Filtro de Kalman Extendido

- Um dos requisitos para a utilização do KF: sistema linear;
- Sistemas não lineares  $\Rightarrow$  *filtro de Kalman extendido* (EKF);
- O EKF é obtido através de linearizações das equações em torno da estimativa do estado:

$$F(k) = \left. \frac{\partial f(\mathbf{x})}{\partial \mathbf{x}} \right|_{\mathbf{x}=\hat{\mathbf{x}}(k|k)} \quad H(k) = \left. \frac{\partial h(\mathbf{x})}{\partial \mathbf{x}} \right|_{\mathbf{x}=\hat{\mathbf{x}}(k|k)}$$

15/24

## Sistema em MF



16/24



# O Filtro de Kalman Descentralizado

- Particionamento da expressão de observação, conforme o domínio de informação de cada sensor:

$$\mathbf{y}_{enc}(k) = \begin{bmatrix} x_{enc}(k) \\ y_{enc}(k) \\ \theta_{enc}(k) \end{bmatrix} + \mathbf{v}_{enc}(k)$$

$$\mathbf{y}_{gps}(k) = \begin{bmatrix} x_{gps}(k) \\ y_{gps}(k) \end{bmatrix} + \mathbf{v}_{gps}(k)$$

$$y_{bus}(k) = \theta_{bus}(k) + \mathbf{v}_{bus}(k)$$

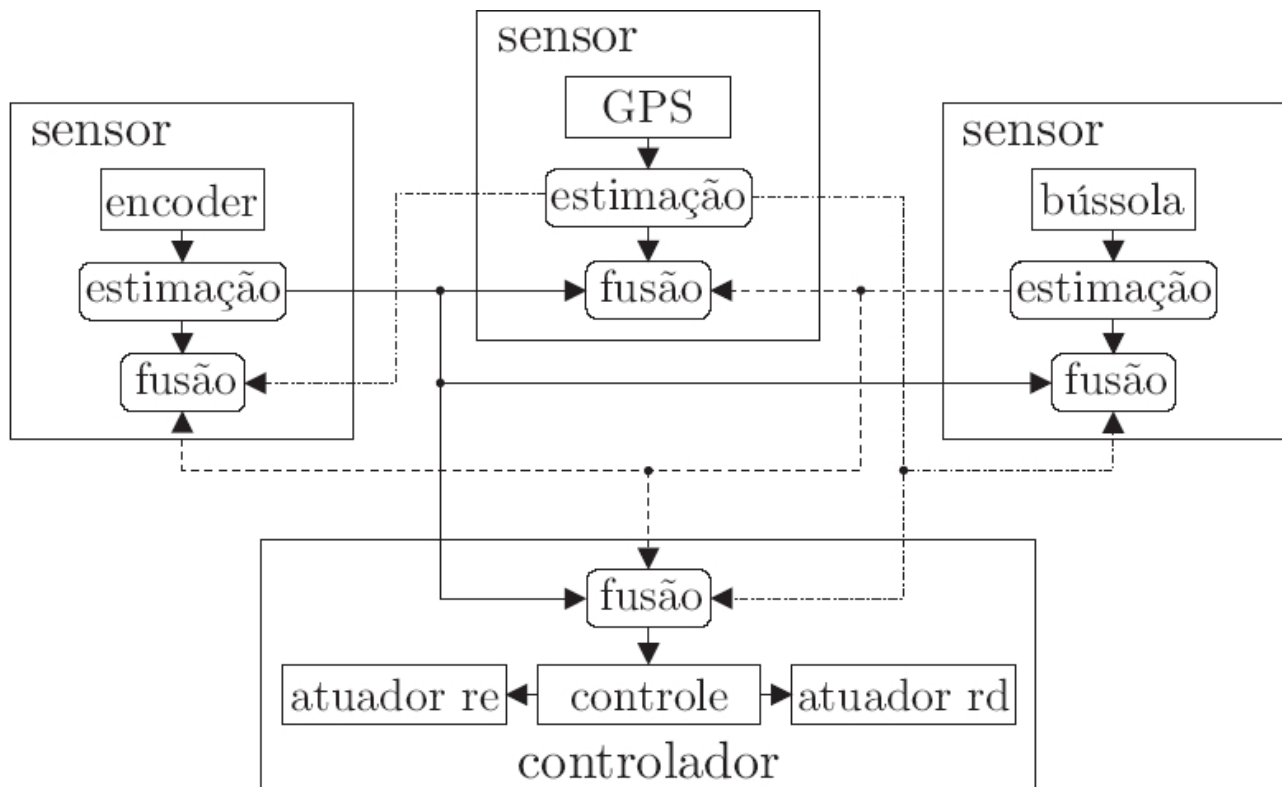
17/24

# O Filtro de Kalman Descentralizado

- Nodo controlador:
  - ☐ mais confiável, por acionar as interfaces de potência do sistema;
  - ☐ recebe as informações locais e realiza a fusão dos dados.

18/24

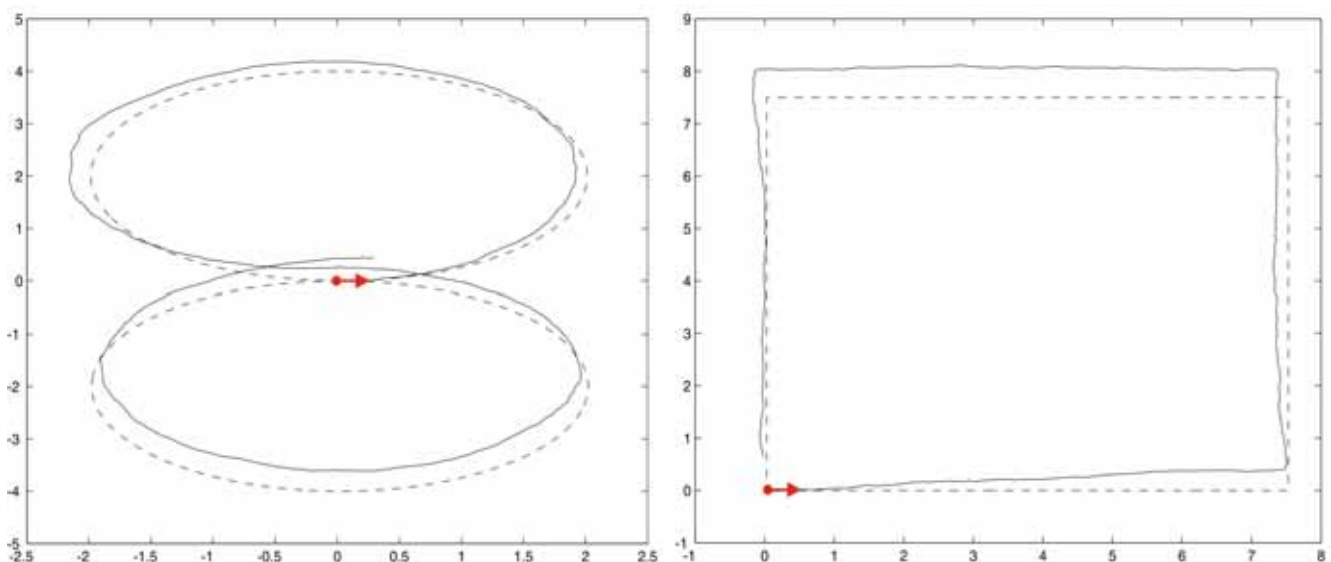
# Sistema Descentralizado



19/24

# Resultados de simulação

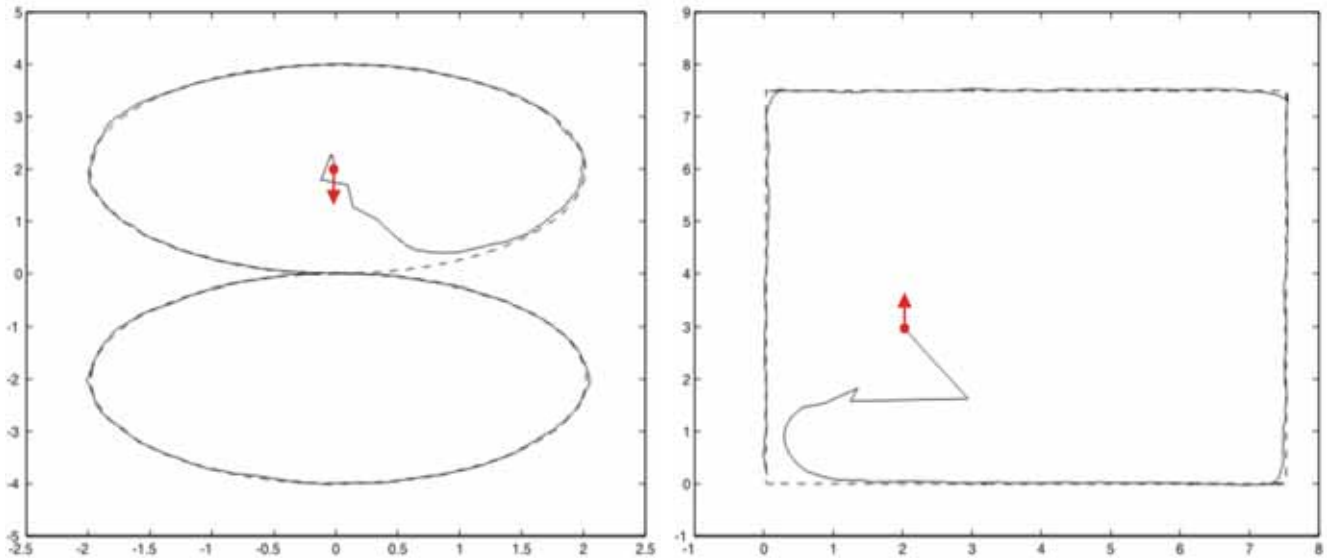
## ■ Estados estimados:



20/24

# Resultados de simulação

## ■ Estados controlados:



21/24

## Conclusões

- Proposta de uma arquitetura composta de nodos descentralizados e totalmente conectados para:
  - ☐ estimação ótima da configuração
  - ☐ controle da posição
- Verificou-se as vantagens de se utilizar uma estrutura descentralizada;
- O controle linearizante apresentou desempenho bastante satisfatório.

22/24

# Trabalhos Futuros

- Avaliar seu desempenho com outras estruturas de comunicação.
- Implementação da mesma arquitetura em tempo real.

23/24

## Obrigado!

`kuhne@eletro.ufrgs.br`

`http://www.eletro.ufrgs.br/~kuhne`

24/24